

На розрахунковому режимі величина зрівноважувального моменту $M_{зр}$ за умови повного зрівноваження визначатиметься за формулою

$$M_{зр} = I_{нр} \cdot \frac{d\psi_{\kappa}}{dt^2} \quad (2)$$

Після підстановки виразу (1) у рівняння (2) і виконання необхідних перетворень [2] отримаємо:

$$\ddot{a}_{mk} + 2\Pi\dot{a}_{mk} + v^2 a_{mk} = v^2 a_{\kappa} + c_{\kappa}. \quad (3)$$

Продовжуючи дослідження при висхідному синусоїдальному законі періодичного руху, рівняння (3) подамо у вигляді

$$\ddot{a}_{mk} + 2\Pi\dot{a}_{mk} + v^2 a_{mk} = v^2 a_{\kappa} + c_{\kappa}. \quad (4)$$

Рівняння (4) розв'язується таким чином:

$$a_{\delta\epsilon} = e^{-\Pi k} (C_1 \sin v_1 k + C_2 \cos v_1 k) + R_{\kappa}.$$

Упускаючи всі проміжні математичні операції з визначення постійних C_1 і C_2 та окремого розв'язання R_{κ} , кінцеве рішення рівняння (3) подамо у вигляді рівняння інваріантів кутових прискорень веденої маси:

$$\ddot{a}_{mk} = e^{-\Pi k} ((C_1 \sin v_1 k + C_2 \cos v_1 k)(\Pi^2 - v_1^2) - 2\Pi v_1 (C_1 \cos v_1 k - C_2 \sin v_1 k)) + \ddot{R}_{\kappa}. \quad (5)$$

У рівності (5) величини других похідних окремих рішень R_{κ} для другої і четвертої фаз (розбивка на фази тут така ж, як у статті [2]) дорівнюють нулеві, а для першої і третьої фаз визначаються залежностями

$$\ddot{R}_{\kappa}^I = -\ddot{R}_{\kappa}^{III} = \frac{2\pi v_0}{\chi} (v_0 \sin 2\pi k - 4\pi^2 \Pi \cos 2\pi k).$$

Постійні C_1 і C_2 для кожної з чотирьох фаз дорівнюють:
перша фаза —

$$C_1^I = -\frac{1}{v_1} (\dot{R}_0^I + \Pi R_0^I); \quad C_2^I = -R_0^I,$$

де

$$R_0^I = 2\Pi \left(\frac{v_0}{\chi} - \frac{1}{v^2} \right); \quad \dot{R}_0^I = 1 - \frac{v_0^2}{\chi};$$

друга фаза —

$$C_1^{II} = \frac{1}{v_1} \left(\Pi \left(a_{mk_1}^I + \frac{4\Pi}{v^2} - 0,5 \right) + \dot{a}_{mk_1}^I - 2 \right); \quad C_2^{II} = a_{mk_1}^I + \frac{4\Pi}{v^2} - 0,5,$$

де

$$\kappa_1 = 0,5; \quad a_{mk_1}^I = e^{-0,5\Pi} (C_1^I \sin 0,5v_1 + C_2^I \cos 0,5v_1) + R_{\kappa_1};$$

$$\dot{a}_{m\kappa_1}^I = e^{-0,5\Pi} \left(v_1 (C_1^I \cos 0,5v_1 - C_2^I \sin 0,5v_1) - \Pi (C_1^I \sin 0,5v_1 + C_2^I \cos 0,5v_1) \right) + \dot{R}_{\kappa_1}^I;$$

$$R_{\kappa_1}^I = 0,5 - 2\Pi \left(\frac{v_0}{\chi} + \frac{1}{v^2} \right); \quad \dot{R}_{\kappa_1}^I = 1 + \frac{v_0^2}{\chi}$$

третя фаза —

$$C_1^{III} = \frac{1}{v_1} \left(\dot{a}_{m\kappa_2}^{II} + \Pi (a_{m\kappa_2}^{II} - R_0^{III}) \right) - \dot{R}_0^{III}; \quad C_2^{III} = a_{m\kappa_2}^{II} - R_0^{III},$$

де

$$\kappa_2 = \frac{\varphi_p}{2\varphi_{вкл}}; \quad a_{m\kappa_2}^{II} = e^{-\Pi\kappa_2} \left(C_1^{II} \sin v_1\kappa_2 + C_2^{II} \cos v_1\kappa_2 \right) + 0,5 - \frac{4\Pi}{v^2} + 2\kappa_2$$

$$\dot{a}_{m\kappa_2}^{II} = e^{-\Pi\kappa_2} \left(v_1 (C_1^{II} \cos v_1\kappa_2 - C_2^{II} \sin v_1\kappa_2) - \Pi (C_1^{II} \sin v_1\kappa_2 + C_2^{II} \cos v_1\kappa_2) \right) + 2;$$

$$R_0^{III} = 0,5 + B\kappa_2 - 2\Pi \left(\frac{1}{v^2} + \frac{v_0}{\chi} \right); \quad \dot{R}_0^{III} = 1 + \frac{v_0^2}{\chi}$$

четверта фаза —

$$C_1^{IV} = \frac{1}{v_1} \left(\dot{a}_{m\kappa_3}^{III} + \Pi (a_{m\kappa_3}^{III} - 1 - 2\kappa_2) \right); \quad C_2^{IV} = a_{m\kappa_3}^{III} - 1 - 2\kappa_2,$$

де

$$\kappa_3 = 0,5; \quad a_{m\kappa_3}^{III} = e^{-0,5\Pi} \left(C_1^{III} \sin 0,5v_1 + C_2^{III} \cos 0,5v_1 \right) + R_{\kappa_3}^{III};$$

$$\dot{a}_{m\kappa_3}^{III} = e^{-0,5\Pi} \left(v_1 (C_1^{III} \cos 0,5v_1 - C_2^{III} \sin 0,5v_1) - \Pi (C_1^{III} \sin 0,5v_1 + C_2^{III} \cos 0,5v_1) \right) + \dot{R}_{\kappa_3}^{III};$$

$$R_{\kappa_3}^{III} = 1 + 2\kappa_2 - 2\Pi \left(\frac{1}{v^2} - \frac{v_0}{\chi} \right); \quad \dot{R}_{\kappa_3}^{III} = 1 - \frac{v_0^2}{\chi}.$$

У результаті обробки отриманих даних побудовано графіки залежностей інваріантів кутових прискорень веденої маси a_{mk} у функції відносного часу (рис. 2, 3). Критерій частотної подібності v і критерій демпфування системи Π варіювалися в тих же межах, що й при дослідженні динаміки без ПР.

Як і слід було чекати, із застосуванням ПР діаграми кутових прискорень веденої маси при різних v і Π у першій і третій фазах значно наблизилися до свого еталону — синусоїди. Так, діаграми a_{mk} (рис. 2) при однакових $v=8$ і $\Pi=0,5$ — для звичайних НЗК і для НЗК з ПР — наочно ілюструють зниження піків кутових прискорень веденої маси (утричі), зменшення амплітуди вільних коливань у другій і четвертій фазах (у сім разів), поліпшення кінематичних характеристик у першій і третій фазах.

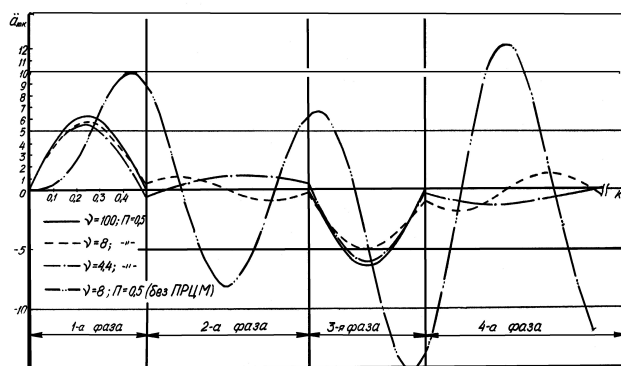


Рис. 2. Графіки інваріантів кутових прискорень веденої маси при варіюванні критерієм частотної подібності

Посилення жорсткості веденого валопроводу ($\nu = 100$) ще більше зближує діаграму прискорень a_{mk} з діаграмою прискорень S_k для синусоїди (відмінність у значеннях становить 0,05 %). При цьому вільні коливання в другій і четвертій фазах практично відсутні (величина їх амплітуди складає менше 1% порівняно з піком прискорень у першій і третій фазах).

Зменшення значення ν (до 4,4) впливає переважно на характер коливального процесу в другій і четвертій фазах, незначно — у першій і третій.

На рис. 3 наведено діаграми a_{mk} для $\nu = 8$ при варіюванні критерію демпфування системи Π у межах від 0 до 5. Із зменшенням втрат на тертя діаграми прискорень веденої маси наближаються до синусоїдальної форми, амплітуди вільних коливань у другій і четвертій фазах значно знижуються. При $\Pi=0$ пружні коливання відсутні і діаграма прискорень повністю відповідає синусоїді.

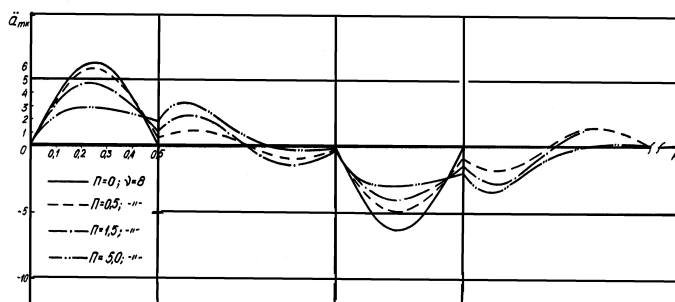


Рис.3. Графіки інваріантів кутових прискорень веденої маси при варіюванні критерієм демпфування

Таким чином, застосування ПР, особливо з малими втратами на тертя, а отже, з високим коефіцієнтом корисної дії, у достатньо широкій межі податливості веденого валопроводу поліпшує динаміку веденої системи й облягоджує закон її руху.

1. Стельмащук С. Г. Аналіз динамічних характеристик механізму неповнозубих коліс з кулачковим вмиканням // Наукові записки / УАД. 1999. Вип.1. С. 13–15. 2. Стельмащук С. Г. Динаміка ведомої системи шагового механізму неповнозубих коліс з кулачковим включенням / Укрполиграфінститут ім. Ів. Федорова. Львов, 1989. Рус. Деп. в УкрНИИТИ 13.06.89, № 1641 — Ук 89.